

# بررسی ضایعات ماکروسکوپیک و میکروسکوپیک ریه در گوسفندان کشتار شده شهرستان بابل

رضا صداقت<sup>\*</sup>، شاهرخ رنجبر بهادری<sup>۱</sup>، صمد لطف الزاده<sup>۲</sup>، مهدی حسن پور<sup>۳</sup>

(۱) گروه آموزشی پاتولوژی دانشکده پزشکی دانشگاه شاهد تهران - ایران.

(۲) گروه آموزشی پاتوبیولوژی دانشکده دامپزشکی دانشگاه آزاد اسلامی واحد گرمسار، گرمسار، ایران.

(۳) گروه آموزشی علوم درمانگاهی دانشکده دامپزشکی دانشگاه آزاد اسلامی واحد گرمسار، گرمسار، ایران.

(۴) دانش آموخته دانشکده دامپزشکی دانشگاه آزاد اسلامی واحد گرمسار، گرمسار، ایران.

<sup>\*</sup> نویسنده مسئول: rsedaghat@iau-garmsar.ac.ir

## Macroscopic and Microscopic Study on the Pulmonary Lesions in Slaughtered sheep from Babol

Sedaghat, R.<sup>۱</sup>, Ranjbar-Bahadori, Sh.<sup>۲</sup>, Lotfollah Zadeh, S.<sup>۳</sup>, Hassanpor, M.<sup>۴</sup>

<sup>1</sup>Department of pathology, Faculty of medicine, Shahid University, Tehran-Iran. <sup>2</sup>Department of Parasitology, Faculty of veterinary medicine, Islamic Azad University, Garmser Branch, Garmser-Iran.

<sup>3</sup>Department of Clinical Sciences, Faculty of veterinary medicine, Islamic Azad University, Garmser Branch, Garmser-Iran. <sup>4</sup>Graduated from school of veterinary medicine, Islamic Azad University, Garmser Branch, Garmser-Iran.

In order to study different types of pulmonary lesions in slaughtered sheep from Babol, this study was designed. A total of 100 tissue samples from 1000 pneumonic lungs of sheep were selected randomly. After fixation in 10% formalin solution, the specimens were processed and sectioned for 5 micrometers.

Sections were stained with Hematoxylin and Eosin and studied microscopically. Histopathological lesions were recorded and classified on the basis of distribution and mechanism. On the basis of distribution of lesions, Focal pneumonia (30%), Lobular pneumonia (24%) lobar pneumonia (2%) and diffuse pneumonia (44%) were recorded. On the basis of mechanism, suppurative broncho pneumonia (24%), Fibrinous pneumonia (2%), Interstitial pneumonia (20%), Vermicious pneumonia (16%), Pulmonary adenomatosis (24%). Pulmonary abscess (4%) and Hydatid cyst (10%) were recorded. Results of this study showed that diffuse pneumonia and suppurative bronchopneumonia were the most prominent pulmonary lesions in slaughtered sheep from Babol. *Vet.J.of Islam.Azad.Univ., Garmser Branch. 1,3:41-45,2007.*

**Keywords:** Pulmonary lesions, sheep, slaughter house, Babol.

طوری که بیش از ۵۶ درصد بیماری‌های گوسفندان مستقیم یا غیرمستقیم ناشی از اختلال در عملکرد دستگاه تنفس می‌باشد که زیان اقتصادی سنگینی را به دامپزشکی این بخش وارد می‌کند.<sup>(۹)</sup> .<sup>(۳،۴،۶،۸)</sup>

## چکیده

این مطالعه چهت بررسی انواع مختلف ضایعات ریوی در گوسفندان کشتار شده شهرستان بابل انجام گردید. ریه هزار رأس گوسفند ارجاعی به کشتارگاه بابل مورد بررسی قرار گرفت. از بین هزار جفت ریه، یک صد جفت که دارای ضایعات

ماکروسکوپیک بودند بصورت تصادفی انتخاب گردیدند. سپس نمونه‌هایی جهت مطالعه ریزبینی تهیه و پس از ثبوت در محلول فرمالین ده درصد، و گذر از مراحل مختلف آماده سازی بافت، برش‌های ۵ میکرومتری تهیه و با روش هماتوكسیلین و آئوزین رنگ‌آمیزی و از نظر وجود ضایعات با میکروسکوپ نوری مورد بررسی قرار گرفتند. در طبقه بندي ضایعات ریوی براساس نوع انتشار، پنومونی کاتونی

۴۳ درصد، پنومونی لوبلی ۲۴ درصد، پنومونی لوپی ۲ درصد و پنومونی منتشر ۴۴ درصد و براساس مکانیسم، برونوکوپنومونی چرکی ۲۴ درصد، برونوکوپنومونی فیبرینی ۲ درصد، پنومونی بینایینی ۲۰ درصد، پنومونی کرمی ۱۶ درصد، آدنوماتوز ریوی ۲۴ درصد، آبسه ریوی ۴ درصد و کیست هیداتیک ۶ درصد ثبت گردید. نتایج حاصل از این مطالعه نشان داد که پنومونی منتشر و برونوکوپنومونی چرکی برجسته‌ترین ضایعات ریوی در گوسفندان کشتار شده شهرستان بابل بودند. مجله دانشکده دامپزشکی دانشگاه آزاد اسلامی واحد گرمسار، ۱۲۸۵، دوره ۱، شماره ۳، ۴۱-۴۵.

واژه‌های کلیدی: ضایعات ریوی، گوسفند، کشتارگاه، بابل.

## مقدمه

بیماری‌های دستگاه تنفس از شایع‌ترین و مهم‌ترین بیماری‌های حیوانات اهلی به ویژه نشخوارکنندگان می‌باشند. این بیماری‌ها در گوسفند از اهمیت ویژه‌ای برخوردارند به



جدول شماره ۱- طبقه‌بندی و فراوانی پنومونی‌ها براساس نوع انتشار ضایعات ریوی.

فرابوی نسبی ضایعه به درصد	فرابوی ضایعه	نوع انتشار پنومونی
۰/۳	۳۰	پنومونی کاتونی
۰/۲۴	۲۴	پنومونی نوبولی
۰/۰۲	۲	پنومونی لووی
۰/۴۴	۴۴	پنومونی منتشر
۱	۱۰۰	جمع

جدول شماره ۲- فراوانی انواع ضایعات ریوی براساس مکانیسم.

فرابوی نسبی ضایعه به درصد	فرابوی ضایعه	نوع ضایعه
۰/۲۴	۲۴	برونکوپنومونی چرکی
۰/۰۲	۲	برونکوپنومونی فیربرینی
۰/۰۴	۴	آسپریوی
۰/۲	۲۰	پنومونی بینایینی
۰/۱۶	۱۶	پنومونی گرانولوماتوز کرمی
۰/۱	۱۰	کیست هیداتیک
۰/۲۴	۲۴	آدنوماتوز ریوی
۱	۱۰۰	جمع

ریوی در جدول ۱ و فراوانی انواع ضایعات ریوی براساس مکانیسم در جدول ۲ آمده است. در اغلب موارد، ضایعات به لوب‌های قدامی ریه محدود بود و به صورت سفت و سخت شدن لوب‌های مزبور قابل مشاهده بود.

در بررسی ریزبینی برونکوپنومونی‌های چرکی نفوذ گسترده نوتوفیل‌ها و ماکروفاژها به درون نایریک‌ها و حبابچه‌ها مشاهده شد (تصویر شماره ۱). همچنین اکسودای سروزی در درون حبابچه‌ها مشاهده گردید که بیانگر خیزآماسی است.

در بررسی ریزبینی برونکوپنومونی‌های فیربرینی، تجمع فراوان اکسودای فیربرینی و یاخته‌های آماسی در درون حبابچه‌ها و نایریک‌ها، ترومبوس‌های فیربرینی، نکروز گسترده و آهکی شدن مشاهده شد (تصویر شماره ۲).

در پنومونی‌های بینایینی، از نظر ظاهری، ضایعات در تمام نواحی ریه منتشر بود ولی در لوب‌های خلفی از شدت بیشتری برخوردار بود.

در بررسی ریزبینی پنومونی‌های بینایینی، برجسته شدن ناحیه بینایینی، فیربرونز گسترده، هیپرپلازی یاخته‌های ماهیچه‌ای صاف در دیواره نایریک‌ها و دیواره عروق (آتریو اسکلروز) مشاهده شد (تصویر شماره ۳).

با توجه به این که ریه گوسفند به عنوان بخشی از آلایش دامی مورد مصرف انسان قرار می‌گیرد، سلامت آن از نظر بهداشت عمومی نیز حائز اهمیت است. همچنین حذف ریه‌های مبتلا به بیماری، زیان اقتصادی شدیدی را از نظر اتلاف کشتارگاهی به کشور تحمیل می‌کند. با توجه به این که الگوهای پیدایش ضایعات ریوی گوناگون است، تعیین دقیق این الگوهای تعیین اتیوپاتوژن آن کمک شایانی نموده و بی تردید شناسایی این موارد به کنترل، درمان و پیشگیری کمک کرده و می‌تواند از این زیان اقتصادی جلوگیری و سلامت و بهداشت عمومی را نیز فراهم نماید.

با توجه به اینکه مطالعه‌ای جامع در این زمینه دست کم در شهرستان بابل انجام نشده است، در این مطالعه انواع مختلف ضایعات ریوی گوسفند شناسایی و فراوانی و قوع این ضایعات در سطح شهرستان بابل برآورده شده است.

## مواد و روش کار

برای انجام این مطالعه ریه‌های هزار رأس گوسفند ارجاعی به کشتارگاه بابل مورد بررسی قرار گرفت. ابتدا ظاهر ریه‌ها از نظر رنگ، قوام، انتشار ضایعات در نواحی مختلف ریه، وجود ندول و کیست انگلی مورد بازرگاری قرار گرفت. از این هزار جفت ریه بررسی شده یک صد جفت آن که دارای ضایعات ماقروسکوپیک بودند، بصورت تصادفی انتخاب شدند. پس از بازرگاری ماقروسکوپیک دقیق ریه‌های ضایعه‌دار، نمونه‌هایی جهت مطالعه میکروسکوپیک تهیه گردید.

هر نمونه در یک ظرف حاوی محلول فرمالین ۱۰٪ غوطه‌ور گردید. سپس نمونه‌های ثابت شده به اندازه‌های استاندارد بریده شدو جهت قالب‌گیری با پارافین مراحل مختلف آماده‌سازی بافت را گذرانده و آنگاه از قالب‌های پارافینی برش‌هایی به ضخامت ۵ میکرومتر به وسیله میکروتوم گردان تهیه گردید. این برش‌های پس از گذراندن مراحل معمول، با روش رایج هماتوکسیلین و ائوزین رنگ‌آمیزی شدند و از نظر وجود ضایعات به وسیله میکروسکوپ نوری مورد بررسی دقیق قرار گرفتند.

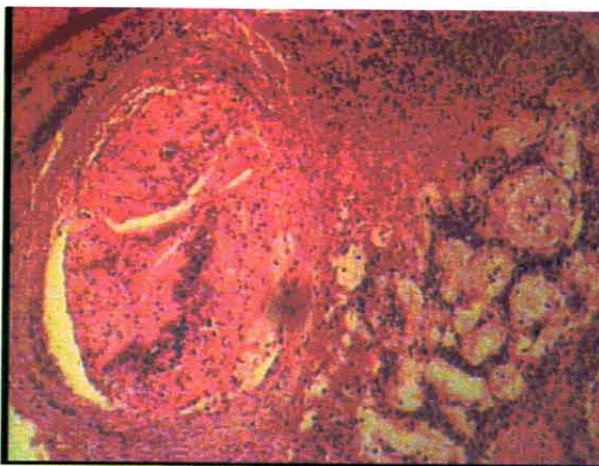
## نتایج

پس از گردآوری داده‌ها، ضایعات ریوی مشاهده شده، براساس نوع انتشار پنومونی و نیز براساس مکانیسم طبقه‌بندی شدند.

طبقه‌بندی و فراوانی پنومونی‌ها براساس نوع انتشار ضایعات

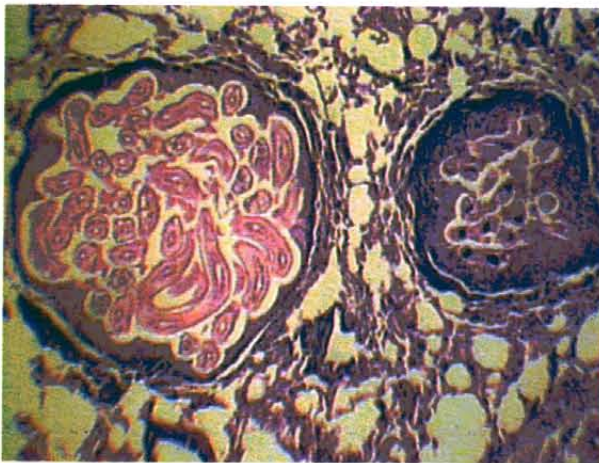


تصویر شماره -۲: بروز نکوپنومونی فیبرینی، در سمت چپ تصویر ترومبوس دیده می شود.



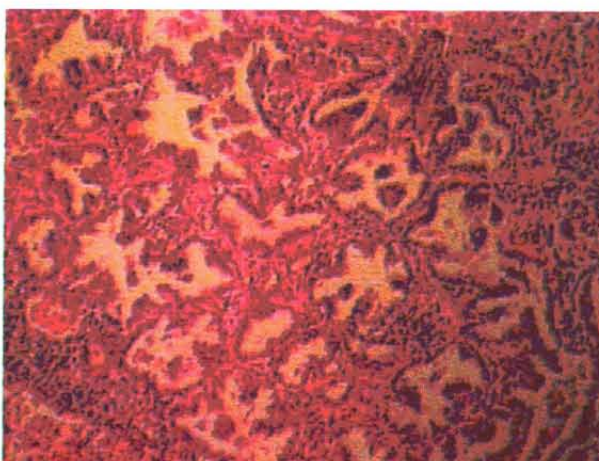
نکروز گستردۀ فیبرین فراوان و نوتروفیل‌ها کاملاً در تصویر مشاهده می‌شود (رنگ آمیزی هماتوکسیلین - انوزین ۱۰۰).  
(X۱۰۰)

تصویر شماره -۴: پنومونی گرانولوماتوز کرمی.



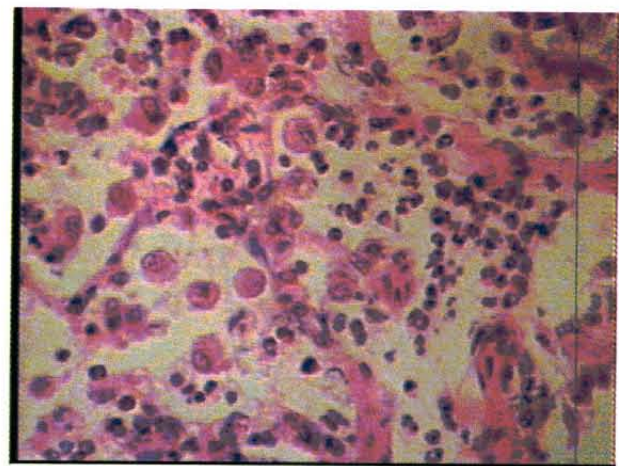
گرانولوم‌هایی در برامون مقطع کرمه‌ها دیده می‌شود. به باخته‌های غول‌بیکر و همچنین کانون‌های اتلکتازی و آمفیزم توجه نمانید. (رنگ آمیزی هماتوکسیلین - انوزین ۲۲).  
(X۲۲)

تصویر شماره -۶: آدنوماتوز ریبوی.



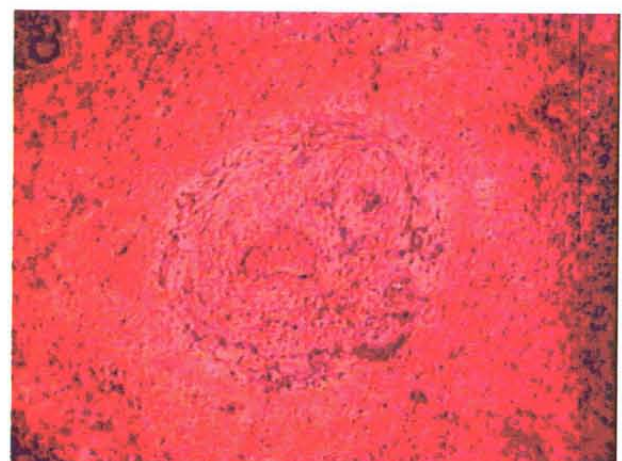
راههای هوایی و حبایجه‌ها نوسط سلول‌های مکعبی یا استوانه‌ای مفروش شده‌اند و حالت پرده شکل و الگوی غده مانند دارند (رنگ آمیزی هماتوکسیلین - انوزین ۱۰۰).  
(X۱۰۰)

تصویر شماره -۱: بروز نکوپنومونی چرکی.



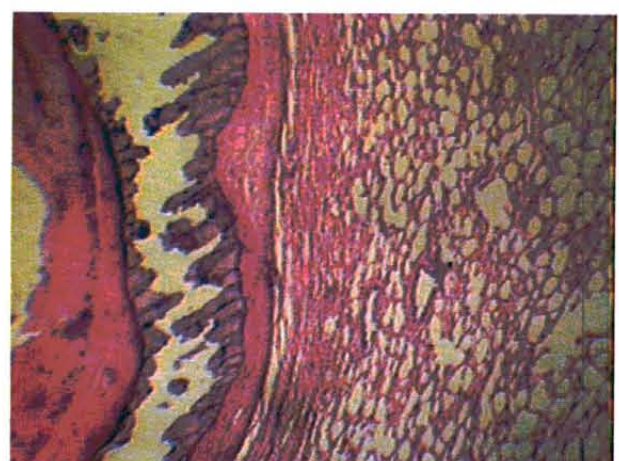
به نفوذ گستردۀ نوتروفیل‌ها و ماکروفازها به درون راههای هوایی توجه نمایید (رنگ آمیزی هماتوکسیلین - انوزین ۱۰۰).  
(X۱۰۰)

تصویر شماره -۳: پنومونی بینابینی مزمن.



در مرکز تصویر سرخگی که دچار آتریبواسکلروز شده است و در برامون این رگ فیبروز گستردۀ دیده می‌شود (رنگ آمیزی هماتوکسیلین - انوزین ۱۰۰).  
(X۱۰۰)

تصویر شماره -۵: کیست هیداتیک.



در سمت چپ تصویر دیواره آهکی شده کیست مشاهده می‌شود (رنگ آمیزی هما توکسیلین - انوزین ۲۲).  
(X۲۲)



بوده است.

نتایج بدست آمده در این مطالعه کم و بیش با تایید بدست آمده از مطالعات دیگران مطابقت دارد (۱، ۲، ۳، ۵، ۶، ۹).

در مطالعه حاضر بارزترین ضایعه ریوی مشاهده شده از نظر انتشار ضایعات، پنومونی منتشر می باشد که با مطالعات انجام شده و آمارهای موجود در منابع مطابقت دارد (۷، ۸، ۴، ۵، ۶، ۷، ۸).

از نظر مکانیسم ایجاد کننده پنومونی، برونوکوپنومونی جرکی، مهم ترین و فراوان ترین ضایعه مشاهده شده می باشد. این یافته نیز با یافته های به دست آمده دیگر هم خوانی دارد (۱، ۲، ۴، ۸). انواع دیگر ضایعات و فراوانی آنها نیز کم و بیش با منابع موجود مطابقت دارد و اختلاف اندک ممکن است ناشی از وضعیت جغرافیایی و اقلیمی مناطق مختلف و یا نحوه جمع آوری نمونه ها باشد. ازان جایی که نمونه های مورد مطالعه، در یک دوره یک ماهه از کشتارگاه شهرستان بابل جمع آوری شدند، حتی وقوع فصلی برخی بیماری های نیز ممکن است نتایج بدست آمده را تحت تأثیر قرار دهد. برای نمونه، درصد فراوانی آدنوماتوز ریوی در این مطالعه ممکن است اختلاف نسبتاً زیادی با دیگر مطالعات انجام شده داشته باشد (۵، ۱۰).

علت این امر را می توان به الگوی وقوع ابی زئوتیولوژیک و عفونی بودن بیماری نسبت داد و چون معمولاً در کشتارگاه ها حیوانات یک گله به صورت هم زمان کشتار می شوند ممکن است با توجه به این که کنترل دقیقی بروی پیشینه این حیوانات وجود ندارد نمونه های جمع آوری شده اغلب متعلق به یک گله باشند که این امر بر روی درصد فراوانی ضایعات آدنوماتوز ریوی تأثیر می گذارد. یکی از عوامل دیگری که ممکن است وقوع بالای آدنوماتوز ریوی را توجیه کند، سن بالای گوسفندان در هنگام کشتار می باشد که این موضوع نیز می تواند توجیه کننده این درصد وقوع باشد.

وقوع بالای برونوکوپنومونی چرکی کاملاً با نتایج موجود در دیگر منابع هم خوانی دارد (۷، ۸، ۴، ۶، ۱۰).

درصد فراوانی پنومونی کرمی در این مطالعه نیز کمی بالاتر از ارقام موجود در دیگر منابع است (۱، ۸، ۹).

با توجه به وضعیت آب و هوایی منطقه مورد مطالعه (شهرستان بابل) این نتیجه دور از ذهن نیست و با توجه به این که این مطالعه در اوایل تابستان انجام گرفته و در این فصل آلودگی کرمی ریه در پایین ترین میزان خود قرار دارد، می توان انتظار داشت که میزان آلودگی کرمی ریه در طول فصول دیگر سال حتی بیش تر

الگوی پنومونی در پنومونی های کرمی به صورت گرانولوماتoz و چند کانونی بود. در بررسی انگل شناسی ضایعات کرمی، کرم های جدا شده دیکتیوکولوس فیلاریا و مولریوس کاپیلاریس تشخیص داده شدند. در پنومونی های کرمی، از نظر ظاهری ضایعات به صورت ندول های خاکستری برجسته و سفت و یا به صورت ندول های قهوه ای عمده تا در لوب های خلفی پیشتری ریه ها قابل مشاهده بود. در بررسی ریزبینی پنومونی های کرمی، آماس در پیرامون نایر گها، گرانولوم های متعدد در پیرامون

قطع کرم ها، وجود یاخته های غول پیکرو کانون های آتلکتازی و آمفیزم در ریه ها مشاهده گردید (تصویر شماره ۴). همچنین مراحل گوناگون انگل در راه های هوا یی به همراه ضخیم شدن دیواره بین حبابچه ای به دلیل نفوذ یاخته ای آمامی دیده شد. کیست هیداتیک عمده تا در لوب های خلفی مشاهده گردید.

در تمام موارد بیش از یک کیست هیداتیک در ریه وجود داشت. در بررسی ریزبینی کیست هیداتیک، دیواره کیست شامل لایه زایا، لایه لامینه و واکنش میزبان به صورت یک لایه فیروزه مشاهده شد.

در برخی موارد دیواره کیست آهکی شده بود (تصویر شماره ۵). ضایعات آدنوماتوز ریوی از نظر ظاهری، بصورت ندول های سفت و خاکستری بیشتر در لوب های قدامی - شکمی ریه مشاهده گردیدند.

در بررسی ریزبینی آدنوماتوز ریوی، راه های هوایی و حبابچه ها منظره غده مانند داشتند. پوشش آنها مکعبی یا استوانه ای بود و حالت پرده شکل رانشان می داد (تصویر شماره ۶).

آب سه های ریوی که ممکن است ناشی از پنومونی آمبولیک باشند عمده تا در لوب های خلفی مشاهده شدند. این آب سه ها محتوی چرک خامه ای کم رنگ بودند و به لحاظ ریزبینی منظره میکروسکوپیک آب سه رانشان دادند.

## بحث و نتیجه گیری

در این مطالعه، انواع ضایعات ریوی گوسفندان در شهرستان بابل مورد بررسی قرار گرفت. اگر چه اطلاعات پراکنده ای در این باره در اداره دامپژشکی شهرستان بابل ثبت شده است، ولی هیچ گونه مطالعه جامعی در این زمینه در این شهرستان انجام نشده است.

محور اصلی این مطالعه طبقه بندی و تعیین فراوانی انواع ضایعات ریوی گوسفند بر اساس انتشار و مکانیسم ایجاد پنومونی



## منابع

- ۱- کریمی، ا.، محمدنیا، ا. (۱۳۸۲): بررسی کشتارگاهی ضایعات ریوی گوسفند در منطقه شهرکرد، پژوهش و سازندگی، ۸۱:۵۸، ۷۸.
- ۲- Alley, M. R., Ionas, G., Clarke, J. K. (1999) chronic non-progressive pneumonia of sheep in New Zealand - a review of the role of *Mycoplasma ovipneumoniae*. NZ Vet. J., **47** (5): 155-60.
- ۳- Daniel, J. A., Held, J. E., Brake, D.G., Wulf, D.M., Epperson, W. B. (2006) Evaluation of the prevalence and onset of lung lesions and their impact on growth of lambs. Am. J. Vet. Res., **67**(5): 890-4.
- ۴- Dungworth, D.L. (1985) The respiratory system. In Jubb,K.V.F., Kennedy,P.C., Palmer, N. (eds): Pathology of Domestic Animals, Vol.2, 3<sup>rd</sup> ed., NewYork, Academic Press, pp: 413-556.
- ۵- Gonzalez, L., Juste, R. A., Cuervo, L. A., Idigoras, I., Saez cd ocariz, C. (1993) Pathological and epidemiological aspects of the coexistence of maedi-visna and sheep pulmonary adenomatosis. Res. Vet. Sci., **54**(2): 140- 6.
- ۶- Goodwin, K. A., Jackson, R., Brown, C., Davies, P.R., Morris, R. S., Perkins, N.R. (2004) Pneumonic lesions in lambs in New Zealand: Patterns of Prevalence and effects on production. N Z Vet. J., **52**(4): 175-9.
- ۷- Haziroglu, R., Diker, K. S., Gulbahar, M. Y., Akan, M., Guvenc,T.(1994) Studies of the Pathology and Microbiology of Pneumonic lungs of lambs. Dtsch Tierarztl wochenschr, **101** (11): 44-3.
- ۸- Lopez, A. (2001) Respiratory system, thoracic Cavity and Pleura, In McGavin, M.D., Carlton w.w., Zachary, J. F. (eds): Thomson's special veterinary pathology, 3<sup>rd</sup> ed, St. Louis, Mosby, pp: 145-165.
- ۹- Theodoropoulos, G., Theodoropoulos, E., Petrakos, G. Kantzoura, V. Kostopoulos, J. (2002) Abattoir condemnation due to parasitic and its economic implications in the region of trikala, Greece. J. Vet. Med. B Infect Dis Vet. Public Health, **49** (6): 281-4.
- ۱۰- Uzal, F. A., Delhon, G., Murcia, P. R. Delas Heras, M., Lujan, L., Fernandez Miyakawa, M. E. Morris, W. E., Gonzalez, M. J. (2004) Ovine pulmonary adenomatosis in patagonia, Argentina. Vet. Res. Commun., **28** (2): 159-70.

از این میزان باشد. اگر چه آلودگی های کرمی ریه ممکن است به وسیله چهارگونه دیکتیوکولوس فیلاریا، مولریوس کاپیلاریس، پروتواسترولنژیلوس رو فسانس و سیستیوکولوس اکراتوس ایجاد شوند ولی در این مطالعه تنها دو گونه دیکتیوکولوس فیلاریا و مولریوس کاپیلاریس جدا شناسایی شدن.

به لحاظ میزان فراوانی کیست هیداتیک و آبسه ریوی نتایج بدست آمده از این مطالعه کم و بیش با نتایج مطالعات مشابه دیگر هم خوانی دارد و اختلافات موجود ممکن است بیشتر ناشی از روش نمونه گیری باشد (۱، ۴، ۸).

به لحاظ فراوانی ضایعات ریوی در لوب های گوناگون ریه، اغلب لوب های قدامی بیش ترین ضایعات رانشان دادند. با توجه به این که این لوب به دلیل موقعیت کالبدشناختی خود، از کفايت ریوی کم تری برخوردار است، این نتایج دور از ذهن نبوده و با دیگر مطالعات، هم خوانی دارد. البته پنومونی های بینایی از این امر مستثنی بوده و عمدتاً در لوب های خلفی مشاهده شدند که این موضوع نیز با یافته های موجود در دیگر منابع مطابقت دارد (۸، ۶، ۲، ۴، ۵).

نتایج حاصل از این مطالعه نشان می دهد که تمامی اشکال پنومونی، چه به لحاظ انتشار و چه به لحاظ مکانیسم در شهرستان بابل مشاهده می شوند و از شیوع بالایی برخوردار هستند و پنومونی منتشر و برونوکوپنومونی چرکی بالاترین میزان وقوع انواع پنومونی را به ترتیب از لحاظ نوع انتشار ضایعات و مکانیسم نشان می دهند.

با توجه به محدودیت های موجود در انجام این مطالعه، توصیه می شود، برای تعیین درصد دقیق فراوانی ضایعات ریوی در گوسفندان شهرستان بابل، مطالعه ای گسترده تر در طول یک سال (تمام فصول) انجام شود و تأثیر عواملی چون سن و جنس حیوان نیز مدنظر قرار گیرد تا عوامل محدود شگرده حداقل رسیده و آمار دقیق تری از فراوانی انواع ضایعات ریوی گوسفند در این شهرستان به دست آید.

